

بررسی اثر کشش سطحی بین دو فاز در فرآیند گوگردزدایی اکسایشی به کمک امواج مافوق صوت

محمد رضا جلالی و محمد امین ثباتی*

دانشکده مهندسی شیمی، نفت و گاز، دانشگاه علم و صنعت، تهران، ایران

تاریخ دریافت: ۹۶/۱/۱۶ تاریخ پذیرش: ۹۶/۶/۲۸

چکیده

گوگردزدایی اکسایشی به کمک امواج مافوق صوت یکی از روش‌های جدید است که در سال‌های اخیر به منظور حذف ترکیبات گوگردی از برش‌های مختلف نفتی مورد توجه قرار گرفته است. در این فرآیند، ترکیبات گوگردی ابتدا در یک سیستم اکسیداسیون مناسب در حضور امواج مافوق صوت اکسید می‌شوند. در مرحله بعد ترکیبات گوگردی اکسید شده به کمک یک حلال مناسب استخراج می‌گرددند. در این مطالعه، برای اولین بار اثر کشش سطحی بین دو فاز آبی و آلی در روش گوگردزدایی اکسایشی از سوخت دیزل به کمک امواج مافوق صوت در سیستم اکسیداسیون فرمیک اسید-آب اکسیژنه مورد بررسی قرار گرفت. در این راستا از سه نوع عامل کاهش‌دهنده کشش بین‌سطحی آبیونی، کاتیونی و غیریونی بهره گرفته شد. نتایج نشان داد که به هنگام استفاده از سورفکتانت‌های سدیم‌دودسیل‌سولفات به عنوان ماده فعال سطحی آبیونی و ستیل‌تری‌متیل‌آمونیوم‌برومید به عنوان ماده فعال سطحی کاتیونی میزان بازدهی گوگردزدایی بعد از اکسایش و استخراج با حلال به ترتیب برابر $82/65$ و $83/1$ % می‌باشد. این در حالی است که در غیاب سورفکتانت میزان بازدهی گوگردزدایی برابر $81/61$ % بعد از اکسایش و استخراج در شرایط مشابه خواهد بود. همچنین حضور سورفکتانت Span-60 میزان بازدهی گوگردزدایی را بعد از مرحله استخراج به $78/65$ % کاهش داد در حالی که میزان حذف ترکیبات گوگردی صرفا در مرحله اکسایش در حضور سورفکتانت Span-60 در مقایسه با عدم حضور آن، حدود $3/0$ % افزایش یافت. افزودن مواد فعال سطحی می‌تواند از طریق کاهش کشش سطحی دو فاز آبی و هیدروکربنی موجب بهبود عملکرد مرحله اکسایش و از طرفی باعث ایجاد اختلال در استخراج در فرآیند گوگردزدایی اکسایشی به کمک امواج مافوق صوت گردد.

کلمات کلیدی: کشش بین‌سطحی، گوگردزدایی اکسایشی، امواج مافوق صوت، استخراج، دیزل.

کاتالیست‌های مورد مصرف شامل کاتالیست‌های فلزی همچون کبالت، مولیبدن، نیکل و تنگستن بر پایه آلومینا هستند که معمولاً همراه با کاتالیست مولیبدن بر پایه آلومینا، کبالت یا نیکل نیز به عنوان کاتالیست برای بهبود بخشیدن به عملیات کاتالیستی به آن افزوده می‌شود [۴]. فرآیند گوگردزدایی هیدروژنی با ترکیبات گوگردی آلیفاتیک سازگارتر است به عبارت دیگر ترکیبات آلیفاتیک به وسیله این روش می‌توانند تقریباً به طور کامل از سوخت حذف شود. این در حالی است که گوگرد موجود در حلقه‌های تیوفنی سخت‌تر حذف می‌گردد؛ دانسیته الکترونی و محدودیت فضایی که به وسیله گروه‌های جانشینی اطراف اتم‌های گوگرد در این ترکیبات آلى گوگرددار ایجاد می‌شود، دلیل دشواری گوگردزدایی هیدروژنی در حذف این نوع ترکیبات حلقوی بیان می‌شود. از طرفی این ترکیبات آلى گوگردی مقاوم به فرآیند گوگردزدایی هیدروژنی بخش عمدۀ ترکیبات گوگرددار برش‌های نفتی نظیر دیزل را تشکیل می‌دهند. لذا دست‌یابی به سوخت با میزان گوگرد پایین با به کارگیری از این روش، مستلزم استفاده بیشتر از هیدروژن گران قیمت و همچنین افزایش دما و فشار عملیاتی (تا 400°C و 100 atm) می‌باشد. بدین ترتیب تخمین زده می‌شود که بهبود فرآیند گوگردزدایی هیدروژنی نیازمند صرف هزینه بیشتر جهت تامین شرایط مناسب بدین منظور می‌باشد [۶ و ۵]. از این‌رو روش‌های جدید و متنوعی نظیر اکسایش الکتروشیمیایی^۱ [۷]، استخراج توسط مایعات یونی^۲ [۸]، گوگردزدایی اکسایشی^۳ [۹] گوگردزدایی جذبی^۴ [۱۰] و گوگردزدایی بیولوژیکی^۵ [۱۱] جهت حذف ترکیبات گوگردی از سیالات هیدروکربنی به عنوان

مقدمه

ترکیبات گوگردی و یا به طور خاص ترکیبات آلى گوگرددار یکی از ترکیبات مهم موجود در نفت و مشتقات آن به شمار می‌آیند به طوری که بعد از کربن و هیدروژن، گوگرد سومین ترکیب فراوان موجود در نفت است و میزان گوگرد کلی نفت خام بسته به نوع منبع آن بین 0.03% تا 0.89% وزنی متغیر است [۱]. ترکیبات آلى گوگرددار به سه دسته عمدۀ تیول‌ها^۶، سولفیدها^۷ و تیوفن‌ها^۸ تقسیم‌بندی می‌شوند. در برش‌های میان نقطیر نظیر دیزل، ترکیبات آلى گوگردی عمدها به صورت مشتقات حلقوی سولفید، مشتقات بنزوتیوفن و مشتقات دی بنزوتیوفن یافت می‌شوند [۲]. وجود این نوع ترکیبات در سوخت‌های فسیلی یکی از منابع بزرگ آلودگی محیط زیست به شمار می‌آیند که می‌تواند باعث بروز مشکلاتی از قبیل خوردگی در موتورهای احتراق، مسمومیت سیستم‌های مختلف کاتالیستی و تولید گازهای اکسید گوگرد (SO_x) گردد و سلامت عمومی را به مخاطره بیاندازد [۳]. در همین راستا به منظور کاهش اثرات زیان‌بار این آلاینده‌ها، قوانین و مقررات زیست محیطی در بسیاری از کشورهای جهان برای کاهش میزان گوگرد فرآورده‌های نفتی خصوصاً دیزل و تبدیل آن‌ها به فرآورده‌های با مقدار گوگرد بسیار پایین وضع شده است. برای این منظور روش‌های مختلفی برای گوگردزدایی از نفت خام و سیالات هیدروکربنی پالایش شده پیشنهاد گردیده است.

گوگردزدایی هیدروژنی (HDS) معمول ترین روش برای کاهش گوگرد از نفت خام و مشتقات آن در صنعت نفت به شمار می‌آید که در آن گوگردزدایی به روش شیمیایی و با استفاده از هیدروژن صورت می‌گیرد. این کار از طریق برهم‌کنش ترکیبات گوگردی در نفت خام و یا برش نفتی با هیدروژن در حضور یک کاتالیست صورت می‌گیرد و در نهایت گوگرد موجود به صورت سولفید هیدروژن جدا می‌گردد.

1. Thiols
2. Sulfides
3. Thiophenes
4. Electrochemical Oxidation
5. Extraction with Ionic Liquids
6. Oxidative Desulfurization (ODS)
7. Selective Adsorption
8. Biodesulfurization

این سیستم اکسیداسیون صورت گرفته است. با این وجود، زمان لازم برای انجام واکنش در فرآیند گوگردزدایی اکسایشی بهدلیل ماهیت دوفازی سیستم اکسایش (فاز آبی و فاز هیدروکربنی) به هنگام استفاده از هیدروژن پراکسید به عنوان عامل اکسیدکننده، نسبتاً زیاد می‌باشد که آن را می‌توان یکی از معاوی فرآیند گوگردزدایی اکسایشی به شمار آورد [۱۵].

به همین دلیل در سال‌های اخیر، استفاده از امواج مافوق صوت به منظور افزایش نرخ و کاهش زمان واکنش در فرآیند گوگردزدایی اکسایشی مورد توجه قرار گرفته است. به کارگیری امواج مافوق صوت در فرآیند گوگردزدایی اکسایشی سبب ایجاد پدیده حفره‌زایی و در نهایت منجر به ایجاد اثرات فیزیکی و شیمیایی در سیستم واکنشی می‌شود. اثرات فیزیکی ناشی از تشکیل امولسیون شدید در محیط واکنش است که نهایتاً باعث افزایش انتقال جرم بین دوفاز می‌گردد و اثرات شیمیایی ناشی از فروپاشی حباب‌هاست که منجر به تولید رادیکال‌های آزاد و در نهایت افزایش سرعت واکنش می‌شود. مطالعات صورت گرفته در این زمینه مovid آن است که شرایط انجام آزمایش برای برش‌های هیدروکربنی مختلف متفاوت می‌باشد، لذا شاهد استفاده از سیستم‌های مختلف اکسیداسیون در فرآیند گوگردزدایی اکسایشی به کمک امواج مافوق صوت هستیم [۱۶].

بسیاری از فرآیندهای صنعتی شامل فازهای مختلفی است که به طور همزمان در یک واحد حضور دارند که لزوم مطالعه پدیده‌های سطحی را ایجاب می‌کند. یکی از خواص سطحی فیزیکی مهم سیالات کشش بین سطحی می‌باشد که بر انتقال جرم، انتقال حرارت و تشکیل حباب‌های کاویتاسیونی اثر می‌گذارد. کشش بین سطحی که بین سیستم‌های هیدروکربنی و آبی وجود دارد خاصیت مهمی در صنایع نفتی به شمار می‌آید.

روشی جایگزین و یا مکمل فرآیند گوگردزدایی هیدروژنی رائمه گردیده است. در میان روش‌های فوق از آنجایی که ترکیبات گوگردی مقاوم در روش گوگردزدایی هیدروژنی، به آسانی طی فرآیند اکسیداسیون تبدیل می‌شوند، فرآیند گوگردزدایی اکسایشی قابلیت زیادی دارد تا به عنوان یک فرآیند تکمیلی برای فرآیند گوگردزدایی هیدروژنی، در تولید فرآورده‌های نفتی عاری از گوگرد به کار گرفته شود [۹].

گوگردزدایی اکسایشی (ODS) به عنوان یک فناوری نسبتاً جدید جهت گوگردزدایی کامل نفت سبک در نظر گرفته شده است. این فرآیند شامل دو مرحله (الف) اکسایش ترکیبات گوگردی و (ب) جداسازی ترکیبات اکسیدشده می‌باشد؛ به گونه‌ای که ترکیبات حاوی گوگرد به وسیله اکسیدکننده‌های انتخابی، به ترکیبات اکسید شده‌ای تبدیل می‌شوند که به دلیل افزایش قطبیت نسبیشان ترجیحاً می‌توانند از نفت سبک استخراج گردند. از میان اکسیدکننده‌های مختلف می‌توان به سیستم‌های هیدروژن پراکسید/ اسیدهای آلی [۱۱]، هیدروپراکسیدهای پراکسید/ اسیدهای غیرآلی [۱۲]، هیدروپراکسیدهای آلی [۱۳]، آنیون سوپراکسید [۱۴] و غیره اشاره کرد. یکی از مهمترین مزیت‌های این فرآیند نسبت به روش‌های دیگر، شرایط عملیاتی ملائم نظری فشار (۰/۱۰-۲ MPa) و درجه حرارت پایین (۳۱۳-۳۷۳ K) در واکنش می‌باشد ضمن اینکه در این فرآیند از هیدروژن گران قیمت استفاده نمی‌شود. در میان تمام سیستم‌های اکسیداسیونی که در بالا به آن اشاره شد سیستم هیدروژن پراکسید/ اسیدهای آلی (فرمیک اسید یا استیک اسید) به دلیل قدرت اکسید کنندگی بالا، انتخاب‌پذیری ترکیبات گوگردی و با توجه به محصولات جانبی بی‌ضرر آن و همچنین در دسترس بودن مواد اولیه، بیشترین کاربرد را در فرآیند گوگردزدایی اکسایشی داشته است. لذا در سال‌های اخیر مطالعات زیادی بر روی

همزن به منظور اختلاط در بخش استخراج استفاده می‌گردد.

به منظور تعیین میزان کلی گوگرد موجود در سوخت، از یک دستگاه آنالیز گوگرد (Rigaku NEX QC PLUS, USA) بهره گرفته شده است. عملکرد این دستگاه مطابق با استاندار ASTM-D 4294 و بهره‌گیری از اشعه ایکس به منظور تشخیص میزان گوگرد کلی موجود در نمونه و مناسب برای سوختهایی با میزان گوگرد 25 ppmw تا 10 ppmw ، با دقت $10 \text{ ppmw} \pm 0.5\%$ می‌باشد. جهت اندازه‌گیری کشش بین‌سطحی دو فاز هیدروکربنی و آبی از دستگاه Kruss TENSIMETER بهروش استاندارد Wilhelmy در دمای $26 \pm 1^\circ\text{C}$ و در رطوبت $25 \pm 5\%$ بهره گرفته شده است.

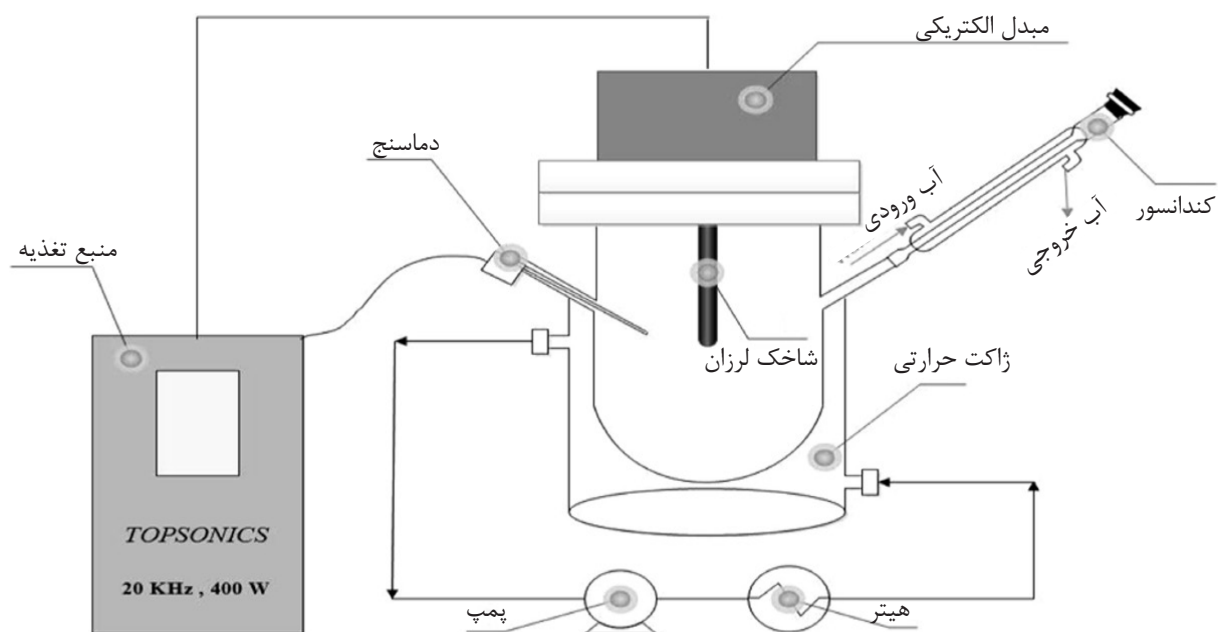
مواد آزمایشگاهی

نمونه سوختی مورد مطالعه، گازوئیل با میزان کلی گوگرد 1550 ppmw می‌باشد که مشخصات کلی آن در جدول ۱ نشان داده شده است.

از آنجایی که تاثیر کشش بین‌سطحی دو فاز آبی و هیدروکربنی بر روی فرآیند گوگردزدایی اکسایشی به کمک امواج مافوق صوت^۱ (UAOD) تاکنون مورد بررسی قرار نگرفته است، از این رو در این مطالعه قصد داریم اثر کشش سطحی بین دو فاز را در فرآیند UAOD منحصراً مورد بررسی قرار دهیم.

دستگاه‌ها و لوازم آزمایشگاهی

در این مقاله، از یک سیستم شاخک لرزان مافوق صوت (شرکت پژوهش نصیر) ساخت کشور ایران، مجهز به یک شاخک لرزان از جنس تیتانیوم به قطر و طول $14 \text{ mm} \times 120 \text{ mm}$ ، تحت فرکانس ثابت 20 kHz و توان متغیر $0 \text{ to } 400 \text{ W}$ جهت تابش امواج فرماصوت به سیستم واکنشی استفاده شده است. آزمایش‌ها درون راکتور شیشه‌ای سه دنه مجهز به یک ژاکت حرارتی به منظور کنترل دمای واکنش و در حجم 80 cm^3 انجام می‌گیرد (شکل ۱). از سایر تجهیزات نظیر دماسنجد جهت اندازه‌گیری دمای واکنش، گرم‌کن جهت بالابردن دمای سوخت، کندانسور جهت میان بخارات احتمالی و



شکل ۱ تجهیزات فرآیند گوگردزدایی به کمک امواج مافوق صوت

جدول ۱ مشخصات کلی گازوئیل به عنوان خوراک

روش آزمون	مقدار	مشخصات
ASTM D4052	۸۲۷	دانسیته در 15°C (kg/m^3)
ASTM D445	۳/۱	ویسکوزیته در 40°C (cSt)
ASTM D4294	۱۵۵۰	مقدار کلی گوگرد (ppmw)
ASTM D93	۶۲	نقطه اشتعال ($^{\circ}\text{C}$)
ASTM D6304 - IEC 60814	۳۸	میزان آب (اندازه گیری به روش کارل فیشر) (ppm)
ASTM D976	۵۸/۰۲	شاخص ستان
ASTM D86		محدوده نقطه تقطیر ($^{\circ}\text{C}$)
	۱۶۸	نقطه جوش اولیه (I.B.P)
	۱۹۸/۵	% ۱۰
	۲۲۱	% ۲۰
	۲۴۵	% ۳۰
	۲۶۴/۵	% ۴۰
	۲۸۱/۵	% ۵۰
	۲۹۶/۵	% ۶۰
	۳۱۳	% ۷۰
	۳۲۷	% ۸۰
	۳۴۷	% ۹۰
	۳۶۰	% ۹۵
	۳۷۵	نقطه جوش پایانی (F.B.P)

۱۵۵۰ ppmw گوگرد وارد راکتور می‌گردد و با استفاده از گرمکن تا دمای 50°C حرارت داده می‌شود؛ پس از رسیدن سوخت به دمای مورد نظر، هیدروژن پراکسید و فرمیک اسید طبق نسبت مولی هیدروژن پراکسید به گوگرد برابر با $۲۷/۵$ و نسبت مولی اسید فرمیک به گوگرد برابر با ۷۰ به راکتور اضافه می‌گردد. همچنین مواد فعال سطحی ۳۲۰ با نسبت جرمی سوخت به سورفکتانت برابر با ۱۰ به مخلوط واکنش اضافه گشته و به مدت 10 min تحت تابش امواج مافوق صوت با فرکانس ثابت ۲۰ kHz و توان حجمی ۵ W/mL قرار می‌گیرد.

هیدروژن پراکسید (۳۰% وزنی) و فرمیک اسید ($۹۸\%-۱۰۰\%$ وزنی) به عنوان عوامل اکسیدکننده تهیه شده از شرکت مرك^۱ آلمان، استونیتریل^۲ به عنوان حلال استخراج کننده، تهیه شده از شرکت داکسان^۳ کره جنوبی، موادی هستند که در طول انجام آزمایش مورد استفاده قرار می‌گیرند. همچنین از سورفکتانت‌های سدیم دو دسیل سولفات (SDS)^۴، ستیل تری متیل آمونیوم بروماید (CTAB)^۵ و Span-60 هر کدام به عنوان یک عضو شاخص از خانواده عوامل کاهش دهنده کشش بین سطحی آنیونی، کاتیونی و غیریونی، در آزمایش‌ها استفاده شده است.

1. Merck

2. Acetonitrile

3. Duksan

4. Sodium Dodecyl Sulfate (SDS)

5. Cetyltrimethylammonium Bromide (CTAB)

شرح انجام آزمایش

در هر آزمایش، ۷۲ cc از سوخت گازوئیل حاوی

(SDS) به عنوان ماده فعال سطحی آنیونی، سورفکنت ستیل تری متیل آمونیوم برومید (CTAB) به عنوان ماده فعال سطحی کاتیونی و سورفکtant Span-60 به عنوان ماده فعال سطحی غیریونی جهت کاهش کشش بین سطحی دوفاز در محیط واکنش به سیستم اضافه شد.

لازم به ذکر است که شرایط عملیاتی مناسب برای فرآیند UAOD در عدم حضور سورفکtant برروی سوخت مورد استفاده در این تحقیق در مطالعه پیشین [۱۷] مورد بررسی قرار گرفته است. در این مطالعه از آنجایی که هدف، ارزیابی تاثیر کشش بین سطحی دوفاز آبی و فاز هیدروکربنی می باشد شرایط عملیاتی آزمایش به گونه ای طراحی شده است که با تغییر متغیر مستقل (کشش سطحی) حداکثر تغییر در متغیر پاسخ (میزان بازدهی گوگرد زدایی) مشاهده گردد به عبارت دیگر آزمایشات به گونه ای طراحی شده اند که خروجی نتایج حاصل از آن ملموس تر و قابل درک باشند. در همین راستا تمام آزمایش ها تحت شرایط یکسان مطابق با جدول ۲ انجام پذیرفت. لازم به ذکر است که به دلیل تاثیرات سطحی ناشی از اضافه نمودن سورفکtant به سیستم واکنشی، دوفاز آبی و آلی پس از اتمام زمان واکنش اکسایش به سختی از یکدیگر جدا می شوند به همین دلیل از دستگاه سانتریفیوژ به منظور جداسازی دوفاز از یکدیگر استفاده می گردد. شکل ۲ میزان کشش سطحی بین دوفاز آبی و آلی در حضور و عدم حضور سورفکtant را نشان می دهد. همان طور که مشاهده می شود کشش سطحی بین دوفاز تحت تاثیر سورفکtant به شدت کاهش پیدا کرده است؛ به گونه ای که کشش بین سطحی در عدم حضور سورفکtant برابر $۹/۰۷ \text{ mN/m}$ می باشد و با اضافه کردن سورفکtant های Span-60، سدیم دودسیل سولفات (SDS) و ستیل تری متیل آمونیوم برومید (CTAB) به ترتیب میزان کشش بین سطحی به $۱/۲۸۳ \text{ mN/m}$ ، $۰/۳۴۱ \text{ mN/m}$ و $۰/۳۳ \text{ کاهش می یابد}$.

باید به این نکته توجه کرد که با توجه به اینکه قدرت امواج مافوق صوت با حجم سوختی که برآن اعمال می گردد در ارتباط است، در این مطالعه، پارامتر توان مافوق صوت به صورت وات بر حجم سوخت (W/mL) تحت عنوان توان حجمی تعریف می گردد.

پس از اتمام زمان واکنش، مخلوط فاز هیدروکربنی و فاز آبی به منظور جدا شدن دو فاز از یکدیگر به مدت ۳ min درون دستگاه سانتریفیوژ با سرعت ۵۰۰ rpm قرار می گیرد. سپس به منظور حذف ترکیبات آبی باقیمانده در فاز هیدروکربنی، سوخت اکسید شده با ۱۶۰ mL آب مقطر شستشو داده شده و آماده مرحله استخراج می گردد.

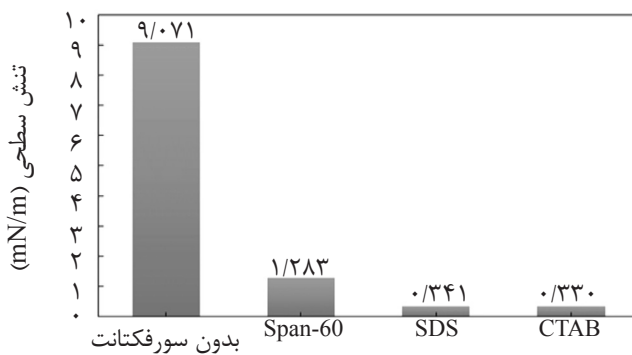
در هر آزمایش، ۴۰ mL از گازوئیل اکسید شده به همراه استونیتریل در یک مرحله استخراج با نسبت حجمی $۱:۱$ سوخت به حلال وارد یک ظرف استخراج کننده گردیده و به مدت ۳۰ min و در ۲ cm دمای محیط به وسیله یک آهنربا به طول ۲ cm با سرعت ۱۰۰۰ rpm به شدت هم زده می شوند. پس از اتمام فرآیند استخراج مخلوط فاز آلی و فاز آبی به مدت ۲۰ min درون ظرف جداسازی دو فازی قرار می گیرند و در نهایت سوخت هیدروکربنی به منظور تعیین میزان کلی گوگرد به آزمایشگاه آنالیز گوگرد ارسال می گردد. به منظور تعیین کشش بین سطحی دوفاز آبی و آلی، در هر آزمایش پیش از مرحله اکسایش هر نمونه تحت آنالیز کشش سطحی به روش Wilhelmy قرار می گیرد.

نتایج و بحث

به منظور بررسی اثر کشش بین سطحی فاز آبی و آلی بر میزان بازدهی فرآیند گوگرد زدایی اکسایشی به کمک امواج مافوق صوت، آزمایشی طراحی شد که در آن از سه نوع ماده فعال کننده سطحی آنیونی، کاتیونی و غیریونی بهره گرفته شد. به همین منظور سورفکtant سدیم دودسیل سولفات

جدول ۲ شرایط عملیاتی انجام آزمایش

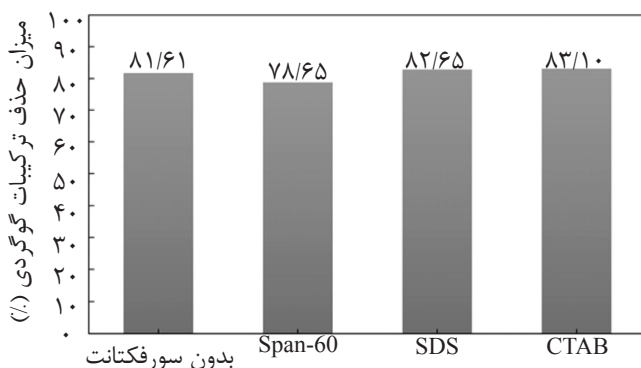
۵۰ °C	دما	۲۷/۵	نسبت مولی اکسیدکننده/ گوگرد
۵ W/mL	توان حجمی مافوق صوت	۷۰	نسبت مولی اسید/ گوگرد
۱	تعداد مراحل استخراج	۱۰ min	زمان مافوق صوت
۳۰ min	زمان استخراج	۳۲۰	نسبت جرمی سوخت/ سورفکتانت



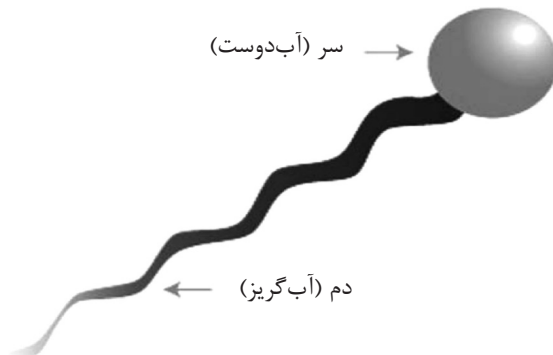
شکل ۲ کشش بین‌سطحی دو فاز آبی و آلی در حضور و عدم حضور سورفکتانت

به‌هنگام استفاده از سورفکتانت Span-60 میزان بازدهی گوگردزدایی به ۷۸/۶۵٪ کاهش می‌یابد. Span-60 بازدهی فرآیند، در حضور سورفکتانت را می‌توان به ساختار این ماده فعال‌سطحی نسبت داد. ساختار کلی یک سورفکتانت شامل یک گروه آب دوست (قطبی) موسوم به سر و یک زنجیره آب گریز (ناقطبی) موسوم به دم مطابق شکل زیر است (شکل ۴). گرایش و تنافر یک ماده فعال‌سطحی از ترکیب آبی و یا آلی بستگی به نوع گروههای عاملی، وجود حلقه، اندازه و چگونگی آرایش مولکول‌ها در زنجیره هیدروکربنی آن دارد. از این رو تفاوت ساختاری ماده فعال‌سطحی Span-60 در مقایسه با سورفکتانت‌های یونی باعث شده که پس از اضافه شدن این ماده به مخلوط دو فازی متشكل از فازهای هیدروکربنی و آبی، بخش عمده ای از این ماده وارد فاز هیدروکربنی گردد که همین امر سبب ایجاد اختلال در بخش استخراج می‌شود. شکل ۵، مقایسه عملکرد دو بخش اکسایش و استخراج در فرآیند گوگردزدایی اکسایشی به کمک امواج مافوق صوت، در حضور سورفکتانت Span-60 و عدم حضور آن را نشان می‌دهد.

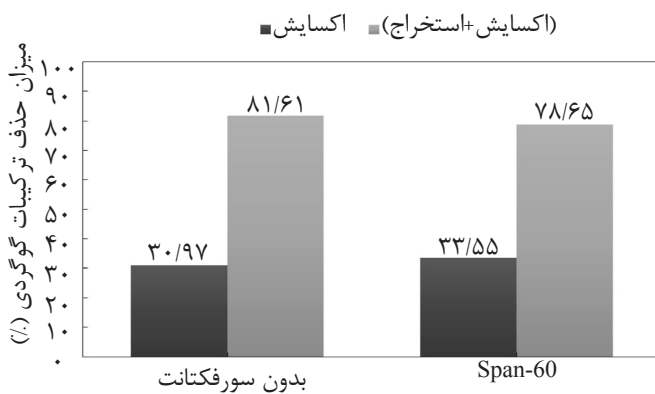
شکل ۳ نشان‌دهنده میزان حذف ترکیبات گوگردی در حضور و عدم حضور سورفکتانت‌های مختلف می‌باشد. نتایج نشان می‌دهد که استفاده از سورفکتانت‌های آئیونی و کاتیونی در فرآیند UAOD موجب افزایش نسبی حذف ترکیبات گوگردی در این فرآیند خواهد شد. به گونه‌ای که میزان بازدهی گوگردزدایی در عدم حضور سورفکتانت برابر ۸۱/۶۱٪ می‌باشد؛ این در حالی است که به هنگام استفاده از سورفکتانت‌های سدیم‌دودسیل‌سولفات (SDS) و ستیل‌تری متیل‌آمونیوم برومید (CTAB) میزان بازدهی حذف ترکیبات گوگردی به ترتیب به ۸۲/۶۵ و ۸۳/۱٪ افزایش می‌یابد. دلیل این موضوع را می‌توان این‌گونه بیان کرد که در سیال‌های با کشش‌سطحی کم، حباب‌های کاویتاسیونی راحت‌تر تشکیل می‌شوند لذا با کاهش کشش‌سطحی، آستانه حفره‌زایی کاهش می‌یابد و حفره‌زایی در فشار صوتی کمتر اتفاق می‌افتد [۱۸] و این امر موجب افزایش بازدهی گوگردزدایی می‌گردد. لازم به ذکر است که عملاً تفاوت معنی داری بین اثر سورفکتانت‌های آئیونی و کاتیونی در بازده گوگردزدایی فرآیند UAOD مشاهد نمی‌شود.



شکل ۳ میزان بازدهی گوگردزدایی در حضور و عدم حضور سورفکتانت بعد از اکسایش به همراه استخراج



شکل ۴ ساختار کلی یک سورفکتانت



شکل ۵ میزان بازدهی گوگردزدایی در دو بخش اکسایش و اکسایش به همراه استخراج

می‌شد حضور سورفکتانت Span-60 در فاز آلی موجب ایجاد اختلال در مرحله استخراج می‌گردد.

نتیجه‌گیری

همان‌طور که می‌دانیم مواد فعال سطحی و یا سورفکتانت‌ها ترکیبات آلی هستند که وقتی با غلظت کم به یک مایع اضافه می‌شوند، خواص سطحی مایع را تغییر می‌دهند و باعث کاهش کشش سطحی بین دو فاز می‌گردند.

همان‌طور که در شکل ۵ مشاهده می‌شود، در عدم حضور سورفکتانت میزان بازدهی فرآیند گوگردزدایی بعد از اکسایش به تنها ۴۷٪ برابر ۳۰/۹۷ و در حضور سورفکتانت Span-60 این مقدار برابر ۳۳/۵۵ می‌باشد؛ این در حالی است که بازدهی فرآیند اکسایش به همراه استخراج در شرایط عدم حضور سورفکتانت برابر ۸۱٪ می‌باشد و در حضور سورفکتانت Span-60 این مقدار به ۷۸٪ کاهش می‌یابد. طبق نتایج همان‌طور که پیش‌بینی

به ترتیب برابر $33/57\%$ و $30/97\%$ می‌باشد.^۳ عوامل کاهش‌دهنده کشش‌سطحی از آنجایی که دارای دو سر هیدروفوبی (آب‌گریز) و هیدروفیلی (آب‌دوست) می‌باشند، حضور این مواد در مخلوط واکنش مانع جداسازی دو فاز آبی و هیدروکربنی از یکدیگر در پایان مرحله اکسایش و استخراج می‌شود؛ به عبارت دیگر این مواد تمایل جدا شدن دو فاز آبی و آلی از یکدیگر را کاهش می‌دهند. لذا برای حل این مشکل باید از دستگاه سانتریفیوژ برای جداسازی دوفاز از یکدیگر کمک گرفت. این مشکل کاربرد این مواد در فرآیندهای گوگردزدایی صنعتی را با چالش مواجه می‌کند.

به عنوان یک نتیجه کلی می‌توان بیان کرد که عوامل کاهش‌دهنده کشش‌سطحی موجب تقویت مرحله اکسایش و تضعیف مرحله استخراج در فرآیند گوگردزدایی اکسایشی به کمک امواج مافوق صوت می‌شوند. لذا اگر در فرآیند UAOD، مرحله جذب سطحی جایگزین مرحله استخراج برای حذف ترکیبات گوگردی اکسیدشده شود، استفاده از مواد فعال‌سطحی می‌تواند نتایج مطلوب‌تری را به دنبال داشته باشد. این مورد می‌تواند موضوع مطالعات آتی باشد.

تشکر و قدردانی

در اینجا لازم است از حمایت‌های مالی شرکت ملی و مهندسی ساختمان نفت ایران (NIOEC)^۱ در انجام این پروژه قدردانی شود.

در این پژوهش با بهره‌گیری از سه نوع سورفتانت آنیونی، کاتیونی و غیریونی به بررسی عامل کشش سطحی بین فاز هیدروکربنی و فاز آبی در فرآیند گوگردزدایی اکسایشی به کمک امواج مافوق صوت پرداخته شد.

در نهایت می‌توان گفت که استفاده از سورفتانت به عنوان عامل کاهش‌دهنده کشش سطحی بین دو فاز آبی و آلی چند نکته را در پی خواهد داشت :

۱. عوامل کاهش‌دهنده کشش سطحی آنیونی و کاتیونی مورد بررسی موجب بهبود جزئی فرآیند گوگردزدایی اکسایشی به کمک امواج مافوق صوت می‌شوند. به گونه‌ای که سورفتانت‌های سدیم‌دودسیل‌سولفات و ستیل‌تری متیل‌آمونیوم‌برومید میزان بازدهی گوگردزدایی را به ترتیب به $82/65\%$ و $83/1\%$ افزایش می‌دهند این در حالی است که در عدم حضور سورفتانت میزان بازدهی گوگردزدایی برابر $81/61\%$ می‌باشد.

۲. استفاده از عامل کاهش‌دهنده کشش سطحی غیریونی هرچند موجب بهبود مرحله اکسایش در فرآیند UAOD می‌گردد، اما به دلیل ایجاد اختلال در مرحله استخراج، بازدهی کلی فرآیند گوگردزدایی اکسایشی به کمک امواج مافوق صوت را کاهش می‌دهد. به طوری که میزان بازدهی کلی گوگردزدایی بعد از مرحله اکسایش و استخراج در حضور سورفتانت Span-60 و در عدم حضور آن به ترتیب برابر $78/65\%$ و $81/61\%$ می‌باشد این در حالی است که در پایان مرحله اکسایش این مقدار

مراجع

- [1]. Soleimani M., Bassi A. and Margaritis A., “Biodesulfurization of refractory organic sulfur compounds in fossil fuels,” Biotechnology Advances, Vol. 25, pp. 570-596, 2007.
- [2]. Speight J. G., “The desulfurization of heavy oils and residua,” CRC Press, 1999.
- [3]. Fan Q., Zhao D. and Dai Y., “The Research of ultra-deep desulfurization in diesel via ultrasonic irradiation under the catalytic system of H_2O_2 - CH_3COOH - $FeSO_4$,” Petroleum Science and Technology, Vol. 27, pp. 302-314, 2009.

1. National Iranian Oil Engineering and Construction Company (NIOEC)

- [4]. Topsøe H., Clausen B. S. and Massoth F. E., "Hydrotreating catalysis," Catalysis, ed: Springer, pp. 1-269, 1996.
- [5]. Ho T. C., "Deep HDS of diesel fuel: chemistry and catalysis," Catalysis Today, Vol. 98, pp. 3-18, 2004.
- [6]. Babich I. and Moulijn J., "Science and technology of novel processes for deep desulfurization of oil refinery streams: a review," Fuel, Vol. 82, pp. 607-631, 2003.
- [7]. Wang W., Wang S., Liu H. and Wang Z., "Desulfurization of gasoline by a new method of electrochemical catalytic oxidation," Fuel, Vol. 86, pp. 2747-2753, 2007.
- [8]. Seeberger A. and Jess A., "Desulfurization of diesel oil by selective oxidation and extraction of sulfur compounds by ionic liquids—a contribution to a competitive process design," Green Chemistry, Vol. 12, pp. 602-608, 2010.
- [9]. Ismagilov Z., Yashnik S., Kerzhentsev M., Parmon V., Bourane A., Al-Shahrani F. M., Hajji A. A. and Koseoglu O. R., "Oxidative desulfurization of hydrocarbon fuels," Catalysis Reviews, Vol. 53, pp. 199-255, 2011.
- [10]. Hernández-Maldonado A. J. and Yang R. T., "Desulfurization of liquid fuels by adsorption via π complexation with Cu (I)-Y and Ag-Y Zeolites," Industrial & Engineering Chemistry Research, Vol. 42, pp. 123-129, 2003.
- [11]. Dehkordi A. M., Kiaei Z. and Sobati M. A., "Oxidative desulfurization of simulated light fuel oil and untreated kerosene," Fuel Processing Technology, Vol. 90, pp. 435-445, 2009.
- [12]. Nehlsen J., Benziger J. and Kevrekidis I., "Oxidation of aliphatic and aromatic sulfides using sulfuric acid," Industrial & Engineering Chemistry Research, Vol. 45, pp. 518-524, 2006.
- [13]. Chica A., Gatti G., Moden B., Marchese L. and Iglesia E., "Selective Catalytic Oxidation of Organosulfur Compounds with tert-Butyl Hydroperoxide," Chemistry-A European, Vol. 12, pp. 1960-1967, 2006.
- [14]. Mjalli F. S., Ahmed O. U., Al-Wahaibi T., Al-Wahaibi Y. and AlNashef I. M., "Deep oxidative desulfurization of liquid fuels," Reviews in Chemical Engineering, Vol. 30, pp. 337-378, 2014.
- [15]. Jalali M. R. and Sobati M. A., "Intensification of oxidative desulfurization of gas oil by ultrasound irradiation: Optimization using Box-Behnken design (BBD)," Applied Thermal Engineering, Vol. 111, pp. 1158-1170, 2017.
- [16]. Dai Y., Qi Y., Zhao D. and Zhang H., "An oxidative desulfurization method using ultrasound/Fenton's reagent for obtaining low and/or ultra-low sulfur diesel fuel," Fuel Processing Technology, Vol. 89, pp. 927-932, 2008.
- [17]. Rahimi M., Shahhosseini S. and Movahedirad S., "Continuous-flow ultrasound assisted oxidative desulfurization (UAOD) process: An efficient diesel treatment by injection of the aqueous phase," Ultrasonics Sonochemistry, Vol. 39, pp. 611-622, 2017.
- [18]. Kuijpers M. W. A., Van Eck D., Kemmere M. F. and Keurentjes J. T. F., "Cavitation-induced reactions in high-pressure carbon dioxide," Science, Vol. 298, pp. 1969-1971, 2002.